# Capitolo 10

# Caratteristiche dei FET ed amplificatori a FET

### 10.1 Introduzione

In questo capitolo discuteremo alcuni semplici esempi dell'uso dei FET come amplificatori. Analizzeremo in particolare la scelta del punto di lavoro e delle reti di polarizzazione, il calcolo della risposta per piccoli segnali, a basse frequenze ed infine i limiti posti dalle capacità parassite e da quelle di accoppiamento sulla banda passante.

Anche se le considerazioni che faremo saranno limitate ai JFET, che sono dei tipici dispositivi a svuotamento, queste possono facilmente essere generalizzate al caso dei MOSFET, sia a svuotamento che ad arricchimento. Nel seguito di questo capitolo adopereremo il termine FET per JFET.

Per una trattazione più dettagliata dell'argomento, si consulti le referenze ([9]),([6]),([10]),([22]).

### 10.2 Caratteristiche dei FET

Le curve caratteristiche di un tipico FET a canale n sono mostrate in figura 10.1 dove và notato che, per un dispositivo a svuotamento quale il JFET,  $V_{gs}$  deve esser negativo.

I punti indicati con la labels A,B,C,.., sono i punti di *pinchoff* corrispondenti ai vari valori di  $V_{GS}$ .

La zona di saturazione inizia per  $V_{DS}=V_A$  se  $V_{GS}=0$ , per  $V_{DS}=V_B$  se  $V_{GS}=V_1$ , etc..

La caratteristica che esprime l'andamento di  $I_D$  in funzione di  $V_{GS}$  nella zona di saturazione è mostrata in figura 10.2.

Questa è a volte espressa analiticamente nella forma:

$$I_{DS} = I_{DSS} \left[ 1 + 3 \frac{V_{GS}}{V_{P0}} + 2 \left( -\frac{V_{GS}}{V_{P0}} \right)^{3/2} \right]$$
 (10.1)

che è spesso approssimata con un andamento quadratico:

$$I_{DS} = I_{DSS} \left( 1 + \frac{V_{GS}}{V_{P0}} \right)^n \tag{10.2}$$

 $con n \approx 2.$ 

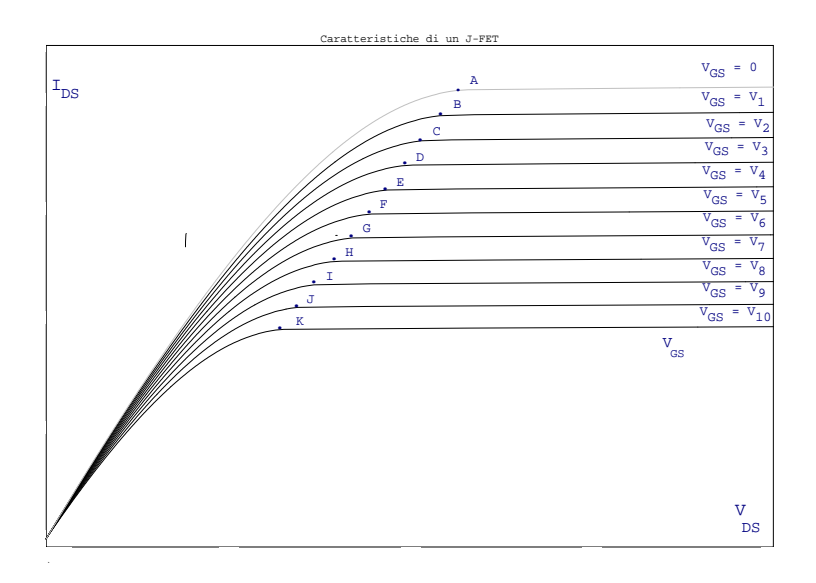


Figura 10.1:

Come sappiamo, un FET è un dispositivo che controlla una corrente (la corrente nel canale,  $I_{DS}$ ) mediante una tensione (la differenza di potenziale  $V_{GS}$  tra gate e source). Un parametro importante è quindi la transconduttenza  $g_m$ :

$$g_m \equiv \frac{\Delta I_{DS}}{\Delta V_{GS}} \tag{10.3}$$

Facendo uso dell'ultima equazione (con n=2) si trova:

$$g_m = -\frac{2}{V_{P0}} \sqrt{I_{DS}I_{DSS}} \tag{10.4}$$

La corrente  $I_{DS}$  nella zona di saturazione non è rigorosamente costante per  $V_{GS}$  fissato, ma dipende leggermente <sup>1</sup> anche da  $V_{DS}$ . Scriveremo allora:

$$I_D \equiv I_{DS} = f(V_{GS}, V_{DS})$$

e, per piccole variazioni di  $V_{GS}$  e  $V_{DS}$ :

$$\delta I_D = \frac{\partial I_D}{\partial V_{GS}} \delta V_{GS} + \frac{\partial I_D}{\partial V_{DS}} \delta V_{DS}$$

cioè, indicando con lettere minuscole le componenti variabili di correnti e tensioni:

$$i_d = g_m v_{gs} + g_d v_{ds} (10.5)$$

dove:

$$g_d = \frac{\partial I_D}{\partial V_{DS}} \tag{10.6}$$

è la conduttanza differenziale del canale nella zona di saturazione:  $g_d=1/r_d$ . Valori tipici di  $g_m$  ed  $r_d$  sono:

$$g_m \approx 3 mS$$

<sup>&</sup>lt;sup>1</sup>Ciò è analogo a quanto accade nel caso dei transistor bipolari, a causa dell'effetto "Early"

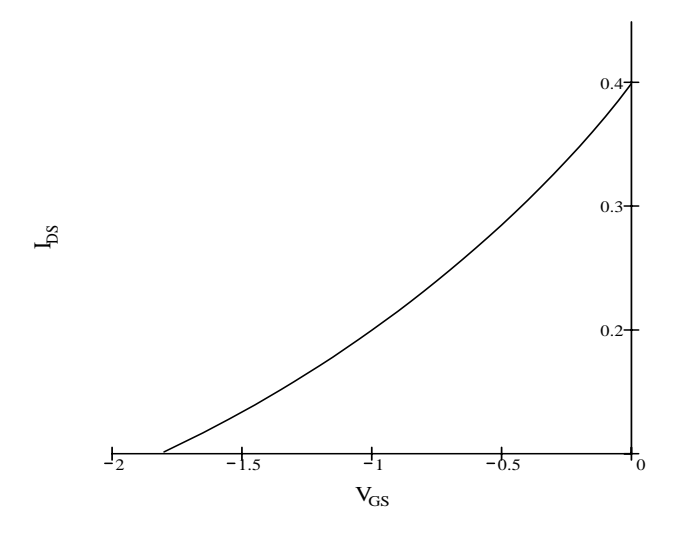


Figura 10.2:

$$r_d \approx 100 \ k\Omega$$

Spesso  $r_d$  è così elevato da poter esser trascurato.

Confrontiamo la 10.5 con l'analoga equazione per il transitor bipolare:

$$i_c = h_{fe}i_b + h_{oe}v_{ce}$$

con:

$$v_{be} = h_{ie}i_b$$

da cui:

$$i_c = \frac{h_{fe}}{h_{ie}} v_{be} + h_{oe} v_{ce}$$

vediamo che il parametro  $h_{fe}/h_{ie}$  del transitor bipolare corrisponde al  $g_m$  del JFET, mentre  $h_{oe}$  corrisponde a  $g_d$ .

Il  $g_m$  tipico del FET è (1-5) mS, mentre il parametro  $h_{fe}/h_{ie}$  del transitor bipolare vale (40-400) mS.

### 10.3 Circuito equivalente del FET

L'equazione 10.5 della sezione precedente porta in modo immediato al circuito equivalente di figura 10.3.

Notiamo che l'impedenza d'ingresso è effettivamente infinita, il che è rappresentato dal gate che risulta isolato nello schema equivalente. Usando poi il teorema di Thevenin, possiamo sostituire, come mostrato in figura 10.4, al generatore dipendente di corrente, in parallelo con la resistenza  $r_d$ , un generatore di tensione,  $-\mu v_{gs}$ , in serie con  $r_d$ .

Il parametro  $g_d=1/r_d$  è noto come "conduttanza di drain" o "conduttanza d'uscita". Il parametro  $\mu$  è anche uguale a:

$$\mu = \frac{\partial V_{DS}}{\partial V_{GS}}|_{I_{DS}=cost.}$$

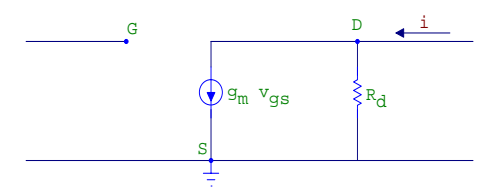


Figura 10.3:

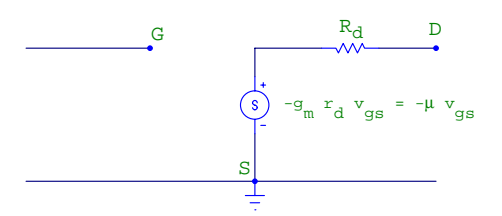


Figura 10.4:

## 10.4 Schemi di polarizzazione per il FET

Uno schema tipico in cui un FET a canale n viene adoperato come amplificatore è quello mostrato in figura 10.5.

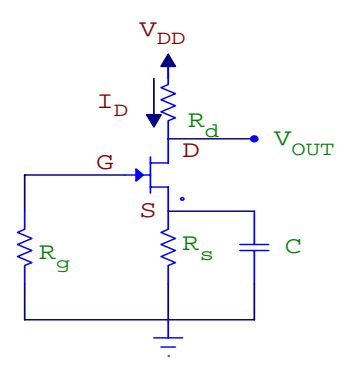


Figura 10.5:

Le resistenze  $R_g$  ed  $R_s$  servono a tenere il gate ad una tensione negativa rispetto al source. Indicando con  $I_D = I_{DS}$  la corrente quiescente nel FET, si ha infatti:

$$V_{GS} = V_G - V_S = -R_S I_D (10.7)$$

É anche:

$$V_{DD} = R_d I_D + V_{DS} + R_s I_D = (R_d + R_s) I_D + V_{DS}$$
(10.8)

Il condensatore C è un corto circuito per la componente variabile, mentre è un interruttore aperto per la corrente che polarizza il source.

Se sono dati  $V_{DD}$ ,  $R_d$ ,  $R_s$ ,  $R_g$ , è immediato trovare il punto di lavoro, facendo uso delle caratteristiche di uscita o dell'espressione analitica di  $I_D$  vs  $V_{GS}$ :

$$I_D = I_{DS} = I_{DSS} \left( 1 - \frac{V_{GS}}{V_{P0}} \right)^2$$
 (10.9)

Infatti, dall'equazione 10.7 si ha:  $I_D = -V_{GS}/R_s$  e, uguagliando questa al secondo membro della 10.9, si ottiene:

$$I_{DSS} \left( 1 - \frac{V_{GS}}{V_{P0}} \right)^2 = -\frac{V_{GS}}{R_s}$$

che è un'equazione quadratica nella variabile  $V_{GS}$ . Risolta tale equazione si ottiene  $V_{GS}$ . Noto così  $V_{GS}$ ,  $I_D$  si ottiene facendo uso della 10.9 e  $V_{DS}$  facendo uso della 10.8.

Consideriamo il seguente esempio:

$$V_{DD} = 15 \ V$$
 ,  $R_d = 620 \ \Omega$  ,  $R_s = 380 \ \Omega$ 

$$R_g = 10 \ M\Omega$$
 ,  $I_{DSS} = 13 \ mA$  ,  $V_{P0} = -4.4 \ V$ 

Troviamo facilmente:

$$V_{GS} = -1.77 V$$

da cui:

$$I_D = 4.65 \, mA$$

ed infine:

$$V_{DS} = V_{DD} - (R_d + R_s)I_D = 10.35V$$

Allo stesso risultato si potrebbe arrivare, fissati i valori dei componenti, facendo uso delle caratteristiche di uscita, mostrate in figura 10.6.

Il valore di  $V_{DD}$  fissa il punto della retta di carico corrispondente a  $I_D = 0$ , mentre il rapporto tra  $V_{DD}$  ed  $(R_d + R_s)$  fissa il punto corrispondente a  $V_{DS} = 0$ .

Il punto di lavoro Q sarà il punto d'intersezione tra la retta di carico e la curva caratteristica per la quale risulti essere:

$$I_D = -\frac{V_{GS}}{R_s}$$

Esaminiamo come secondo esempio il seguente.

Si vuol calcolare la rete di polarizzazione di un J-FET a canale n (BFW10) tale che il punto di riposo abbia:

$$I_{DSO} = 6 \, mA$$
 ,  $V_{DSO} = 10 \, V$  ,  $V_{DD} = 20 \, V$ 

I parametri  $I_{DSS}$  e  $V_{P0}$ , forniti dal costruttore, sono:

$$I_{DSS} = 13 \ mA$$
 ,  $V_{P0} = -4.5 \ V$ 

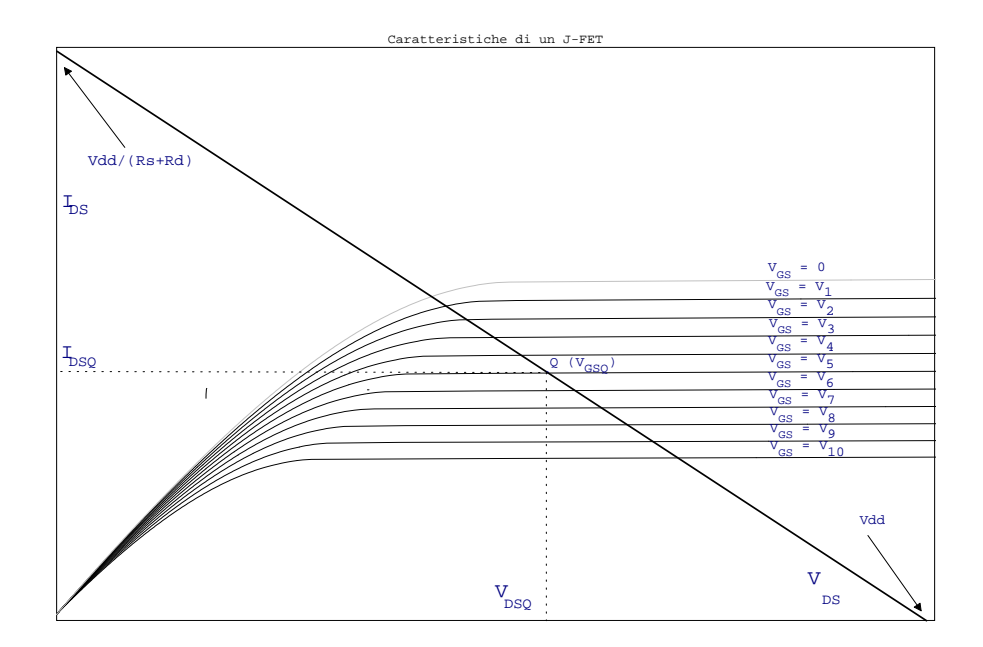


Figura 10.6:

Il circuito di polarizzazione è il medesimo usato nell'esempio precedente. Calcoliamo ora i valori dei componenti. Dall'espressione analitica di  $I_D$  vs  $V_{GS}$ , troviamo:

$$V_{GS} = V_{P0} \left( 1 - \sqrt{\frac{I_D}{I_{DSS}}} \right)$$

cioè:

$$V_{GSQ} = V_{P0} \left( 1 - \sqrt{\frac{I_{DQ}}{I_{DSS}}} \right)$$

che, con i valori numerici dati, fornisce:

$$V_{GSQ} = -4.5 \left( 1 - \sqrt{\frac{6}{13}} \right) = -1.44 V$$

Con tale valore di  $V_{GSQ}$  troviamo:

$$R_s = -\frac{V_{GSQ}}{I_{DQ}} = 250 \ \Omega$$

$$R_d = \frac{V_{DD} - V_{DSQ} - R_s I_{DQ}}{I_{DQ}} = \frac{20 - 10 - 0.25 \cdot 6}{6} \approx 1.4 k\Omega$$

Il valore della resistenza  $R_g$  non è molto importante. Esso può essere scelto in modo da ottimizzare il valore della resistenza d'ingresso dell'amplificatore.

Teniamo ora conto del taglio in frequenza posto dalla presenza del condensatore C. La costante di tempo associata al sistema  $R_sC$ :

$$\tau = R_s C = 250 C$$

corrispondente ad una frequenza  $f_{min} = 1/(2\pi\tau)$ .

Se si vuole adoperare l'amplificatore a frequenze f maggiori di  $40\,Hz$ , dovremo avere:

$$40 > \frac{1}{2\pi\tau} = \frac{1}{1500C}$$

da cui:

$$C > \frac{1}{40 \cdot 1500} \approx 16 \,\mu F$$

Per calcolare i valori dei componenti necessari per polarizzare un FET, è possibile alternativamente far uso della caratteristica mutua  $(I_{DS} - V_{GS})$ .

Consideriamo ad esempio il caso di un FET per il quale, dalla caratteristica mutua, si possa desumere che per il valore di  $I_{DSQ}$  voluto (10mA) sia  $V_{GS}=-1V$ . Se inoltre si vuole  $V_{DSQ}=10V$  e  $V_{DD}=20V$ , dalle solite equazioni 10.7 e 10.8 si trova:

$$R_s = 100 \,\Omega$$

$$R_d = 900 \Omega$$

Uno schema di polarizzazione alternativo è quello che usa un partitore sul gate, come mostrato in figura 10.7.

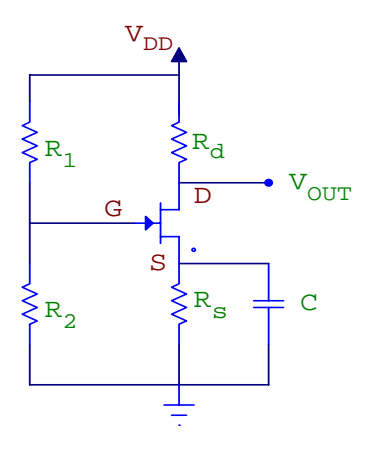


Figura 10.7:

Si supponga di voler far uso di un J-FET a canale n BF256B, la cui caratteristica di trasferimento è mostrata in figura 10.8.

Si sia inoltre scelto:

$$R_s = 1 k\Omega$$
 ,  $R_d = 3 k\Omega$  ,  $R_1 + R_2 = 2 M\Omega$  ,  $V_{DD} = 25 V$ 

e fissato  $V_G$  a +2V. Dalla maglia d'ingresso si ha:

$$V_{GS} = V_G - R_s I_D (10.10)$$

dove:

$$V_G = \frac{R_2}{R_1 + R_2} V_{DD}$$

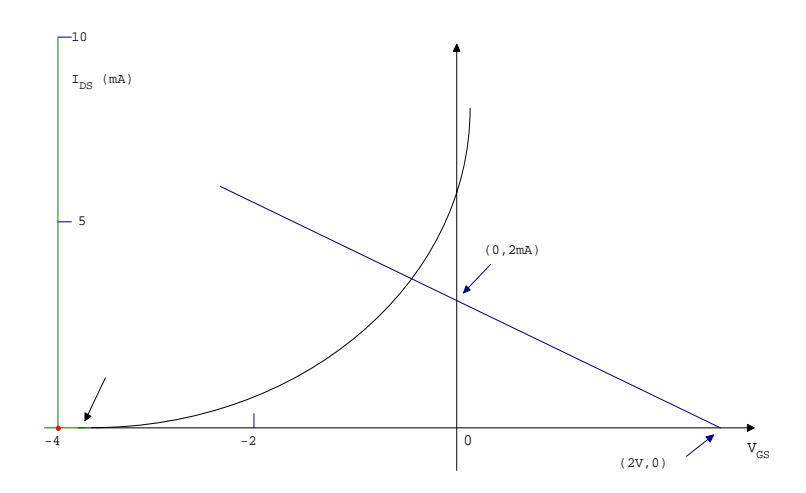


Figura 10.8:

da cui:

$$R_2 = (R_1 + R_2) \frac{V_G}{V_{DD}} = 160 \, k\Omega$$

Per cui:

$$R_1 = 2 M\Omega - R_2 = 1840 k\Omega$$

Tracciamo ora sulla caratteristica, la retta di carico data dalla 10.10. Questa passa per i punti  $(0, V_G/R_s)$  e  $(V_G, 0)$ ; cioè, nel nostro caso, per i punti: (0, 2 mA) e (2V, 0). Le coordinate del punto d'intersezione con la caratteristica mutua sono:

$$I_{DQ} = 3.5 \, mA$$

$$V_{GSO} = -1.5 V$$

Si ha poi per la tensione di drain:

$$V_{DSQ} = V_{DD} - (R_d + R_s)I_{DQ} = 25 - (3+1)3.5 V = 11 V$$

Al medesimo risultato si sarebbe potuti arrivare facendo uso delle caratteristiche "di drain"  $(I_{DS}, V_{DS})$  anzichè di quelle di trasferimento.

### 10.5 Amplificatori a FET

Il parametro più importante nel calcolare la risposta di un FET adoperato come amplificatore è la transconduttanza  $g_m$ . Abbiamo già visto (equazione 10.4) che essa è data da:

$$g_m = -\frac{2}{V_{P0}} \sqrt{I_{DS}I_{DSS}}$$

Se ora definiamo:

$$g_{m0} = g_m(I_{DS} = I_{DSS}) = -\frac{2}{V_{P0}}I_{DSS}$$

avremo:

$$g_m = g_{m0} \sqrt{\frac{I_{DS}}{I_{DSS}}} {10.11}$$

o, alternativamente:

$$g_m = g_{m0} \left( 1 - \frac{V_{GS}}{V_{P0}} \right) \tag{10.12}$$

Vediamo così che la transconduttanza aumenta come la radice quadrata di  $I_{DS}$ . Facciamo ora uso del modello del FET discusso in precedenza per calcolare il guadagno in tensione di un amplificatore a FET come quello mostrato in figura 10.9.

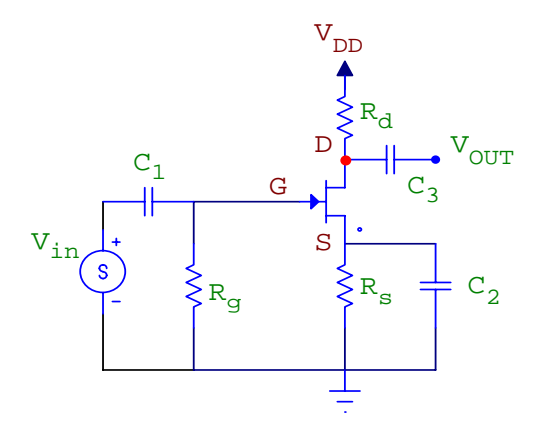


Figura 10.9:

Se ammettiamo di potere, alle frequenze di lavoro, assimilare tutti i condensatori a dei cortocircuiti, lo schema equivalente utile per il calcolo del guadagno in tensione, definito come il rapporto tra  $v_{ds}$  e  $v_{gs}$ , è quello di figura 10.10.

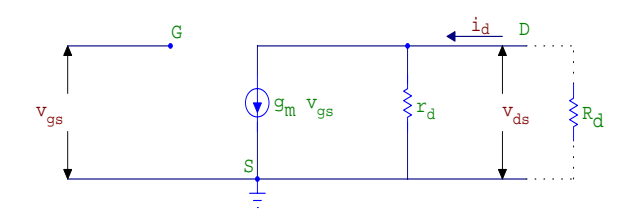


Figura 10.10:

Da questo si ottiene:

$$i_d = g_m v_{gs} + g_d v_{ds}$$
$$v_{ds} = -R_d i_d$$

con:  $g_d = 1/r_d$ .

da cui:

$$v_{ds} = -R_d g_m v_{gs} - R_d g_d v_{ds}$$
$$v_{ds} (1 + R_d g_d) = -R_d g_m v_{as}$$

ed infine:

$$A_v \equiv \frac{v_{ds}}{v_{gs}} = -\frac{R_d g_m}{1 + R_d g_d} \tag{10.13}$$

Essendo poi:

$$1 + R_d g_d = 1 + R_d / r_d = \frac{r_d + R_d}{r_d}$$

il guadagno  $A_v$  può anche essere espresso come:

$$A_v \equiv -\frac{g_m R_d r_d}{R_d + r_d} = -g_m R_d^* \tag{10.14}$$

dove  $R_d^*$  è il parallelo di  $R_d$  ed  $r_d$ .

Il circuito d'uscita può quindi essere schematizzato come un generatore di tensione pari a  $-g_m R_d^* v_{gs}$  in serie con la resistenza  $R_d^*$ , come mostrato in figura 10.11:

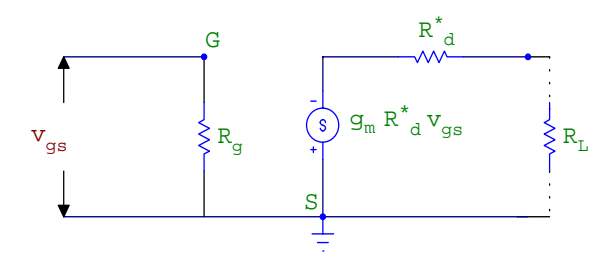


Figura 10.11:

dove abbiamo anche specificato la resistenza di polarizzazione sul gate e l'eventuale carico  $R_L$ .

Se ad esempio ammettiamo di far uso di un FET con  $g_m=2\,mS$  ed una resistenza di drain  $R_d=10\,k\omega$ , avremo un guadagno in tensione di 20.

Calcoliamo ora l'impedenza d'uscita di questo amplificatore. Per farlo usiamo la definizione:

$$Z_{out} = \frac{v_{out (circuito a perto)}}{i_{out (corto circuito)}}$$

dove:

$$v_{out \, (circuito \, aperto)} = \left[ -\frac{R_d g_m}{1 + R_d g_d} \right]_{R_d = \infty} v_{gs} = -\frac{g_m}{g_d} v_{gs}$$

۵.

$$i_{out\,(corto\,circuito)} = -g_m v_{gs}$$

Ne segue:

$$Z_{out} = \frac{1}{g_d} = r_d$$

### 10.6 Inseguitore di source

Il circuito di figura 10.12, analogo all'inseguitore di emettitore, è un inseguitore di source.

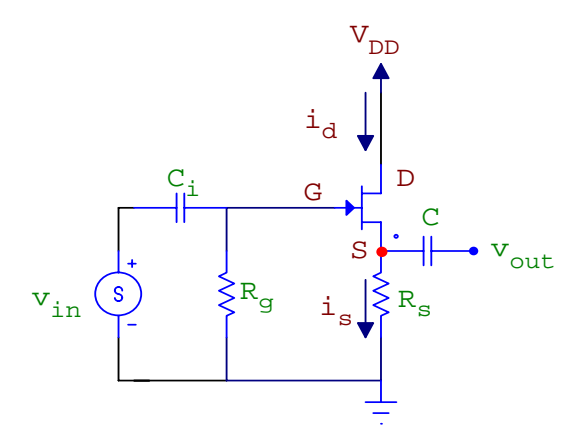


Figura 10.12:

La relazione tra segnale in uscita e segnale in ingresso è ottenibile facilmente se si ricorda che:

$$i_d = i_s = g_m v_{gs}$$

Essendo poi:

$$v_{out} = R_s i_s = R_s g_m v_{as}$$

e:

$$v_{qs} = v_{in} - v_{out}$$

si ha:

$$v_{out} = R_s g_m v_{in} - R_s g_m v_{out}$$

da cui:

$$v_{out} \left( 1 + R_s g_m \right) = R_s g_m v_{in}$$

ed infine:

$$A_v \equiv \frac{v_{out}}{v_{in}} = \frac{R_s g_m}{1 + R_s g_m} \approx 1 \tag{10.15}$$

poichè  $R_s g_m \gg 1$  (in realtà questa disuguaglianza non è sempre vera: se  $R_s = 1 k\Omega$  e  $g_m = 3mS$  segue che  $R_s g_m = 3$ ).

Consideriamo ad esempio un amplificatore che adopera un FET 2N3819, con:

$$g_m = 2mA/V$$

$$R_s = 4.7 k\Omega$$

Si trova:

$$A_v = \frac{9.4}{10.4} \approx 0.9$$

L'impedenza d'ingresso dell'inseguitore di source è determinata essenzialmente da  $R_g$ , che può esser scelto di valore molto alto (> 20  $M\Omega$ ). L'impedenza d'uscita è ottenibile dalla definizione:

$$R_{out} = rac{v_{out\,(circuito\,aperto)}}{i_{out\,(circuito\,chiuso)}}$$

in questa espressione, il numeratore è:

$$v_{out} = A_v v_{in} = \frac{R_s g_m}{1 + R_s g_m} v_{in}$$

mentre il denominatore è semplicemente:  $g_m v_{in}$ . Si ha cioè:

$$R_{out} = \frac{R_s g_m}{(1 + R_s g_m) g_m} \approx \frac{1}{g_m}$$
 (10.16)

Nell'esempio fatto,  $R_{out} = 1/(2mA/V) = 500 \Omega$ .

Negli esempi visti, l'impedenza d'ingresso dell'amplificatore a FET è ridotta, rispetto all'impedenza della giunzione di gate, dalla presenza delle resistenze di polarizzazione. Un fenomeno analogo si incontra nell'amplificatore a transistor bipolare, dove, peraltro, l'impedenza d'ingresso "intrinseca" non è altrettanto elevata.

Un metodo per ridurre l'effetto della resistenza di polarizzazione nell'inseguitore di source è quello noto come "bootstrap", di cui un esempio è quello di figura 10.13.

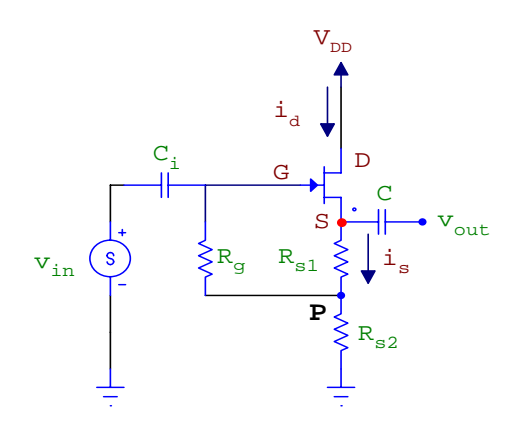


Figura 10.13:

Prima di esaminare quantitativamente il problema, vediamo di capire intuitivamente ciò che, in tale circuito, causa l'aumento dell'impedenza d'ingresso. La tensione del source, come sappiamo, "insegue" quella del gate. La tensione del punto P, se  $R_{s1}$  è piccola rispetto ad  $R_{s2}$ , "insegue" anch'essa la tensione di gate. La corrente i che attraversa la resistenza  $R_g$  è pari alla differenza di potenziale ai suoi capi divisa per  $R_g$ . Ora, la differenza di potenziale ai capi di  $R_g$ , per l'effetto di "inseguimento" menzionato, è molto piccola: se  $v_g$  aumenta, così fa anche  $v_p$ ; di

conseguenza il rapporto  $v_g/i$ , che è appunto la resistenza vista guardando dal gate verso massa, sarà grande. Vediamolo ora quantitativamente. La tensione del punto P è:

$$v_p = \frac{R_{s2}}{R_{s1} + R_{s2}} v_s$$

mentre è:

$$R_g i = v_g - v_p = v_g - \frac{R_{s2}}{R_{s1} + R_{s2}} v_s$$

L'impedenza "effettiva" di  $R_q$  è allora:

$$Z_{eff} = \frac{v_g}{i} = \frac{v_g}{\frac{v_g}{R_g} - \frac{R_{s2}}{R_{s1} + R_{s2}} \frac{v_s}{R_g}} = \frac{R_g}{1 - \frac{R_{s2}}{R_{s1} + R_{s2}} \frac{v_s}{v_g}}$$

Sostituiamo ora al rapporto  $v_s/v_g$  la sua espressione data dalla 10.15. Troviamo:

$$Z_{eff} = \frac{R_g}{1 - \frac{R_{s2}g_m}{1 + (R_{s1} + R_{s2})g_m}} \approx \frac{R_g}{1 - \frac{R_{s2}}{R_{s1} + R_{s2}}} = R_g \left(\frac{R_{s1} + R_{s2}}{R_{s1}}\right)$$

Vediamo così che se  $(R_{s1} + R_{s2}) \gg R_{s1}$ , si ha:

$$Z_{eff} \gg R_g$$

### 10.7 Amplificatore a FET: struttura generale

Abbiamo finora studiato le caratteristiche dell'amplificatore a FET nelle configurazioni source-comune o inseguitore di source. Nel primo caso la resistenza di source era "bypassata" dal condensatore, nel secondo non c'era alcuna resistenza sul drain e mancava il condensatore. Esaminiamo ora il caso generale in cui siano presenti sia  $R_d$  che  $R_s$  e che nessuna delle due abbia un condensatore in parallelo.

La struttura è quindi quella di figura 10.14. Il circuito equivalente utile per il calcolo del guadagno e delle impedenze d'uscita e d'ingresso è mostrato nella stessa figura

 $v_{o2}$  è l'uscita nel caso in cui si adoperi il circuito come inseguitore di source;  $v_{o1}$  quella relativa al caso in cui lo si adoperi come amplificatore common-source. Abbiamo adoperato, nel circuito equivalente, il generatore dipendente di tensione:  $\mu v_{gs} = g_m r_d v_{gs}$  in serie con  $r_d$ .

Dall'equazione della maglia d'uscita otteniamo:

$$i_d (R_d + r_d + R_s) = \mu v_{gs}$$
$$v_{gs} = v_g - v_s = v_i - R_s i_d$$

Da queste due equazioni segue:

$$i_d \left( R_d + r_d + R_s \right) = \mu v_i - \mu R_s i_d$$

da cui:

$$i_d = \frac{\mu v_i}{R_d + r_d + R_s(1+\mu)}$$

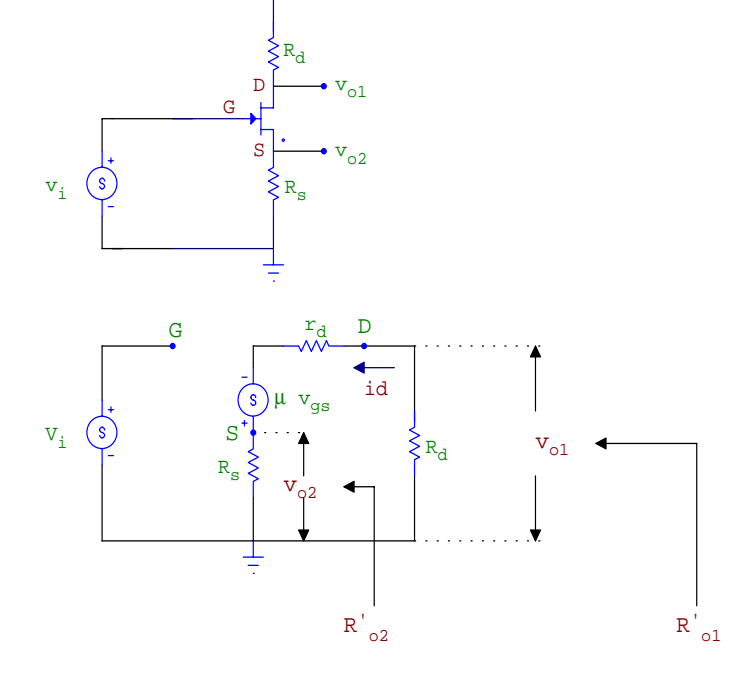


Figura 10.14:

La tensione in uscita sul drain è:

$$v_{o1} = -R_d i_d = -\frac{\mu R_d v_i}{R_d + r_d + R_s (1 + \mu)}$$
(10.17)

La tensione in uscita sul source:

$$v_{o2} = R_s i_d = \frac{\mu R_s v_i}{R_d + r_d + R_s (1 + \mu)}$$
(10.18)

Il guadagno in tensione relativo al primo caso (amplificatore source-comune con resistenza sul source) è allora:

$$A_{v1} = \frac{v_{o1}}{v_i} = -\frac{\mu R_d}{R_d + r_d + R_s(1 + \mu)}$$
(10.19)

(dove  $\mu \gg 1$ )

Questa può esser riscritta, trascurando 1 rispetto a  $\mu$  e sostituendo  $\mu=g_mr_d$  nella forma:

$$A_{v1} = -\frac{g_m r_d R_d}{R_d + r_d + R_s (1 + \mu)} = -\frac{g_m R_{\parallel}}{1 + q_m (R_s / R_d) R_{\parallel}}$$
(10.20)

dove:

$$R_{\parallel} = \frac{r_d R_d}{r_d + R_d}$$

Se è  $g_m R_s/R_d R_{\parallel} \gg 1$ , questa diventa  $A_{v1} = -R - d/R_s$ , cioè il guadagno viene a dipendere solo dalle resistenze  $R_d$  ed  $R_s$  e non dal  $g_m$  del FET. Ciò è analogo a

quel che si trova nel caso di un amplificatore a transistor bipolare con resistenza sull'emettitore.

Calcoliamo ora, per questa configurazione, l'impedenza d'uscita  $R'_{o1}$ . Ricorriamo alla definizione:

$$R'_{o1} = \frac{v_{o1 \ (circuito \, aperto)}}{i_{o1 \ (circuito \, chiuso)}}$$

dove  $v_{o1\ (circuito\ aperto)}$  è il segnale di tensione in uscita in assenza di carico (a parte  $R_d$ ), cioè:

$$v_{o1\ (circuito\ aperto)} = -\frac{\mu R_d v_i}{R_d + r_d + (1+\mu)R_s}$$

e la corrente in uscita  $i_{o1\ (circuito\ chiuso)}$  è ottenibile dal circuito equivalente di figura, ponendo un corto in parallelo ad  $R_d$ . Si ottiene in tal modo:

$$i_{o1\ (circuito\ chiuso)}\ =\ -i_{d}\ = -\frac{v_{gs}}{r_{d}+R_{s}}$$

con:

$$v_{gs} = v_g - v_s = v_i - R_d i_d$$

da cui si ottiene poi:

$$i_{o1\ (circuito\ chiuso)} = -i_d|_{R_d=0} = -\frac{\mu v_i}{r_d + R_s(1+\mu)}$$

Si ha così per l'impedenza d'uscita:

$$R'_{o1} = R_d \frac{r_d + R_s(1+\mu)}{r_d + R_d + R_s(1+\mu)} = R_d \parallel (r_d + R_s(1+\mu))$$
(10.21)

Si vede da quest'ultima espressione che la resistenza d'uscita  $R'_{o1}$ , calcolata senza tener conto di  $R_d$  è:

$$R_{o1} = r_d + R_s(1+\mu) (10.22)$$

Calcoliamo ora la resistenza d'uscita  $R'_{o2}$ .

$$R'_{o2} = \frac{v_{o2 \ (circuito \ aperto)}}{i_{o2 \ (circuito \ chiuso)}}$$

dove:

$$v_{o2\ (circuito\ aperto)} = \frac{\mu R_s v_i}{R_d + r_d + (1 + \mu)R_s}$$

$$i_{o2 \ (circuito \ chiuso)} = i_{o2}|_{R_s=0} = \frac{\mu v_i}{R_d + r_d}$$

da cui:

$$R'_{o2} = \frac{R_s(R_d + r_d)}{R_d + r_d + (1 + \mu)R_s}$$
(10.23)

Il guadagno in tensione nella configurazione inseguitore di source (con resistenza sul drain) è (facendo uso della 10.18):

$$A_{v2} = \frac{v_{o2}}{v_i} = \frac{\mu R_s}{R_d + r_d + (1 + \mu)R_s}$$

che per  $R_d = 0$  diventa:

$$A_{v2} = \frac{\mu R_s}{r_d + (1+\mu)R_s} \approx \frac{g_m r_d R_s}{r_d + g_m r_d R_s}$$

Se ad esempio si sceglie:

$$R_s = 2 k\Omega$$
 ,  $R_d = 1 k\Omega$  ,  $r_d = 100 k\Omega$  ,  $g_m = 3 mS$ 

e quindi:

$$\mu = g_m r_d = 300$$

Avremo:

$$A_{v2} \approx 0.85 , R'_{o2} \approx 290 \,\Omega$$

# 10.8 Risposta in frequenza di un amplificatore a FET

Il guadagno dell'amplificatore a FET nella configurazione source-comune, calcolato in precedenza:

$$A_v = -\frac{R_d r_d}{R_d + r_d} g_m = -g_m R_d^*$$

è indipendente dalla frequenza. Ciò dipende dal fatto che si sono trascurate le capacità presenti nel circuito. Queste comprendono sia la capacità di accoppiamento, che le capacità parassite interne al FET, nonchè quelle associate ai cavi che collegano il generatore dei segnali che si vogliono amplificare all'amplificatore stesso. L'effetto di tutte queste capacità è quello di ridurre la banda passante e di far sì che essa assuma l'aspetto mostrato in figura 10.15, dove è riportato, in funzione di  $\log(f)$ , il rapporto  $|v_{out}/v_{in}|$  espresso in decibel.

Vogliamo ora esaminare l'effetto delle varie capacità e vedere come esse influiscano sulla banda passante. Il circuito base, mostrato in figura 10.16, presenta le seguenti capacità:

- $C_o$ : capacità d'uscita del generatore
- $r_s$ : resistenza d'uscita del generatore
- $C_f$ : capacità associata ai cavi di collegamento
- $C_a$ : condensatore d'accoppiamento
- $C_{gs}$ : capacità parassita tra gate e source nel FET
- $C_{gd}$ : capacità parassita tra gate e drain nel FET

Esaminiamo ora in dettaglio l'effetto di queste capacità sulla banda passante, separatamente per le alte e le basse frequenze.

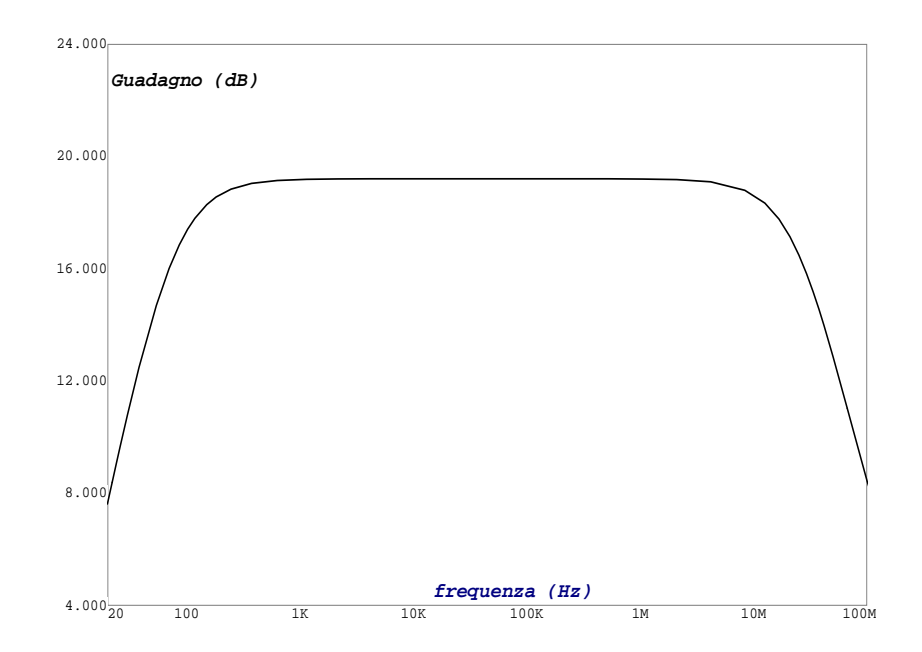


Figura 10.15:

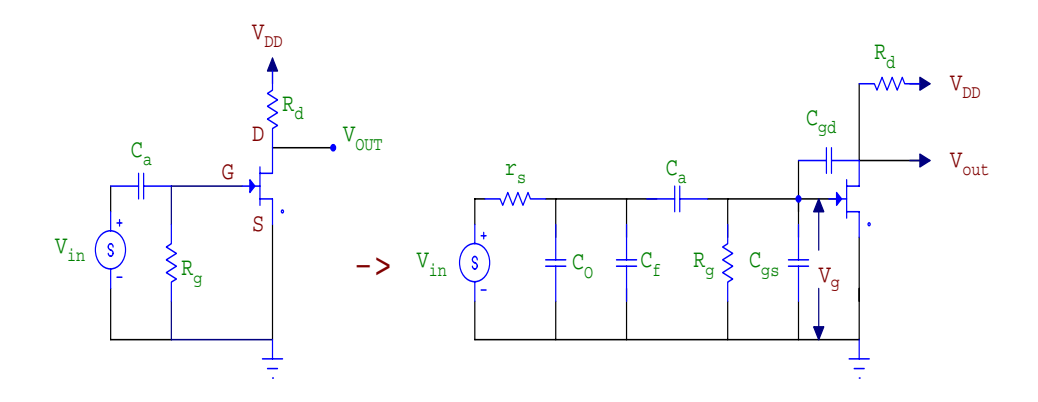


Figura 10.16:

### 10.8.1 Risposta alle alte frequenze

Cominciamo con l'esaminare la risposta del circuito ad alta frequenza, dove  $C_a$  può esser assimilata ad un corto-circuito. In tali condizioni, le capacità  $C_o$ ,  $C_f$ ,  $C_{gs}$  risultano in parallelo, e possono esser sostituite da un'unica capacità  $C_1$ . Il circuito diventa allora quello di figura 10.17 (a).

La resistenza  $R_g$  è in genere molto grande e può quindi esser trascurata. Sostituiamo inoltre al FET il suo circuito equivalente, costituito da un generatore di tensione  $-g_m R_d^* v_g$ , in serie con la resistenza  $R_d \parallel r_d \equiv R_d^*$ . Si ottiene così lo schema di figura 10.17 (b).

Facciamo ora l'ulteriore approssimazione (che verificheremo tra poco) consistente nel trascurare la caduta ai capi di  $R_d^*$ . Ammettiamo cioè che sia  $v_{out} = -g_m R_d^* v_g$ . Il circuito si trasforma allora ulteriormente in quello di figura 10.17 (c)

Applichiamo ora il teorema di Miller, facendo uso dell'impedenza che collega i terminali d'uscita  $v_{out}$  a quelli d'ingresso  $v_g$ . L'impedenza è quella costituita dalla

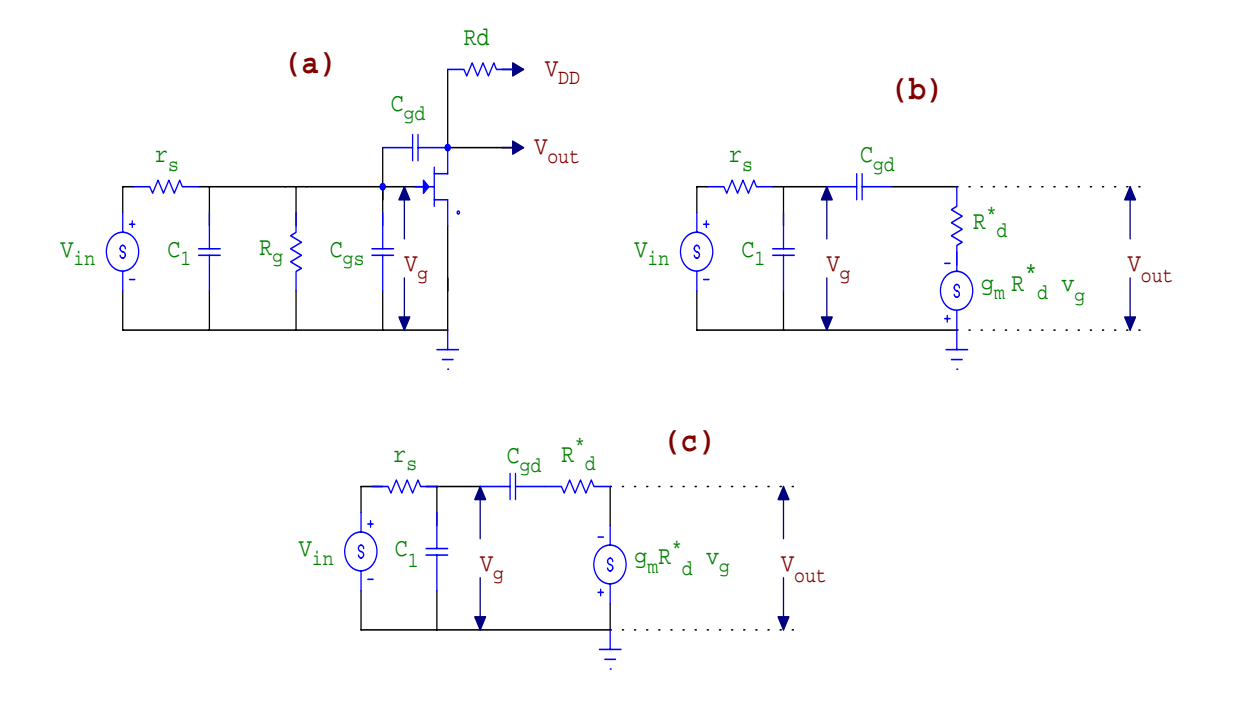


Figura 10.17:

serie di  $C_{gd}$  ed  $R_d^*$ :

$$Z = \frac{1}{j\omega C} + R_d^* = \frac{1 + j\omega R_d^* C}{j\omega C}$$

dove abbiamo per brevità di scrittura posto  $C\equiv C_{gd}$ . Il teorema di Miller dà il circuito di figura 10.18, dove si è posto  $K=-g_m\,R_d^*$ .

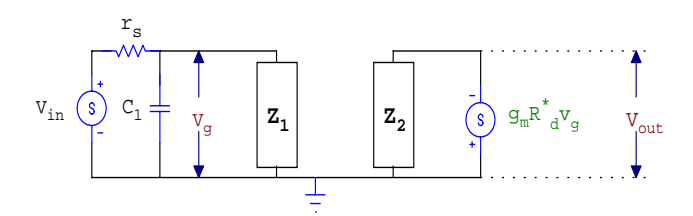


Figura 10.18:

Il guadagno in tensione è:

$$A_{v} = \frac{v_{out}}{v_{in}} = \frac{v_{out}}{v_{q}} \frac{v_{g}}{v_{in}} = -g_{m} R_{d}^{*} \frac{v_{g}}{v_{in}}$$
(10.24)

Le impedenze  $\mathbb{Z}_1$  e  $\mathbb{Z}_2$  sono date da:

$$Z_1 = \frac{Z}{1 - K} = \frac{1 + j\omega R_d^* C}{j\omega C (1 + g_m R_d^*)}$$

$$Z_2 = \frac{ZK}{K-1} = \frac{(1+j\omega R_d^*C)g_m R_d^*}{1+q_m R_d^*}$$

Facciamo ancora un'approssimazione (la cui validità sarà verificata); ammettiamo che sia:

$$R_d^* \ll \frac{1}{\omega C}$$

cioè:  $\omega CR_d^* \ll 1$ .

Con ciò  $Z_1$  diventa:

$$Z_1 \approx \frac{1}{j\omega C(1 + g_m R_d^*)}$$

L'impedenza del parallelo  $Z_1 \parallel C_1$  è allora:

$$Z' = \frac{Z_1}{1 + j\omega C_1 Z_1} = \frac{1}{j\omega \left[C_1 + C(1 + g_m R_d^*)\right]}$$

La relazione tra  $v_g$  e  $v_{in}$  è quindi:

$$v_g = v_{in} \frac{Z'}{r_s + Z'} = v_{in} \frac{1}{1 + j\omega r_s \left[C_1 + C(1 + g_m R_d^*)\right]}$$

per cui:

$$\frac{v_g}{v_{in}} = \frac{1}{1 + j\omega r_s \left[C_1 + C(1 + g_m R_d^*)\right]}$$

Facendo uso della 10.24 si ottiene poi:

$$A_v(\omega) = -\frac{g_m R_d^*}{1 + j\omega r_s \left[ C_1 + C(1 + g_m R_d^*) \right]}$$

Ponendo  $A_o = g_m R_d^*$  (guadagno a centro banda), questa può essere riscritta nella forma:

$$A_v(\omega) = -\frac{A_o}{1 + j\omega r_s \left[C_1 + C(1 + A_o)\right]}$$
(10.25)

Vediamo così che la capacità  $C = C_{gd}$  risulta moltiplicata per il fattore  $1+A_o$ , che è in genere grande. Ciò è conseguenza dell'effetto Miller. I FET sono normalmente costruiti in modo che la capacità  $C_{gd}$  (indicata in letteratura come  $C_{rss}$ ) sia minore di  $C_{gs}$  (con il simbolo  $C_{iss}$  viene indicata la somma  $C_{gd} + C_{gs}$ ). Valori tipici di  $C_{rss}$  per i FET sono nel range (1-15) pF mentre per  $C_{iss}$  troviamo valori nel range (3-70) pF  $^2$ .

Il modulo di  $A_v$  dipende da  $\omega$  come:

$$|A_v(\omega)| = \frac{A_o}{\sqrt{1 + (\omega/\omega_U)^2}} \tag{10.26}$$

con:

$$\omega_U = \frac{1}{r_s \left[ C_1 + C(1 + A_o) \right]} \tag{10.27}$$

 $<sup>^2</sup>$ Sia  $C_{gd}$  che  $C_{gs}$  dipendono molto dalla differenza di potenziale  $V_{DS}$  e decrescono all'aumentare di questa, per rimanere appossimativamente costanti per valori di  $V_{DS}$  maggiori di (10-15) V

Per valori di  $C_{gd}$ ,  $C_{gs}$  ed  $r_s$ :

$$C_{qd} = 2 pF$$

$$C_{qs} = 4 \, pF$$

$$r_s = 10 \,\Omega$$

e per un guadagno a centro banda  $A_o = 20$ , troviamo (ammettendo di poter trascurare  $C_1$ ):

$$\omega_U = \frac{1}{10 \left[2 \cdot 10^{-12} \cdot 21\right]} \approx 2.38 \cdot 10^9 \ s^{-1}$$

cioè:

$$f_U = \frac{\omega_U}{2\pi} = 379 \, MHz$$

L'andamento di  $|A_v|$  (in dB) in funzione della frequenza f è mostrato, per un tipico amplificatore a FET, in figura 10.19.

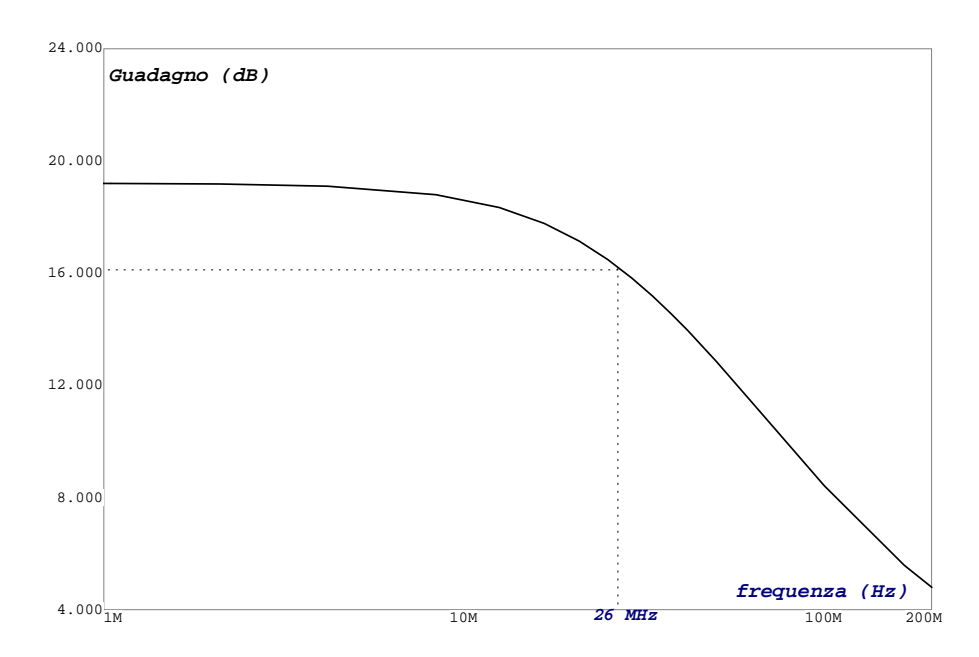


Figura 10.19:

Il valore di  $f_U$  per tale amplificatore è di 26 MHz. A tale frequenza il guadagno si è ridotto di 3 dB rispetto al valore che esso ha a centro banda.

La frequenza  $f_U$  (26 MHz nel nostro esempio) definisce il taglio superiore della banda passante dall'amplificatore.

Dalla definizione 10.27 di  $\omega_U$  segue che, per aumentare la banda passante occorre:

- diminuire  $A_o$
- diminuire  $r_s$
- diminuire  $C_1$

#### • diminuire $C_{qd}$

Vediamo che diminuire quest'ultimo parametro è particolarmente importante poichè esso compare moltiplicato per  $A_o$ .

Un aumento del guadagno  $A_o$  a frequenze intermedie si accompagna ad una riduzione della banda passante. Si definisce quindi un fattore di merito dell'amplificatore:

$$F = A_o f_U$$

Cioè:

$$F = \frac{A_o}{2\pi r_s \left[ C_1 + (1 + A_o) C_{gd} \right]}$$

A parità di F, un aumento di un fattore 10 nel guadagno  $A_o$  si accompagna (all'incirca) ad una riduzione di un fattore 10 nella banda passante.

L'effetto della capacità interna al FET tra gate e drain  $(C_{gd})$  è mostrato in figura 10.20. Si vede chiaramente che, all'aumentare di  $C_{gd}$  tra 1 pF e 40 pF la frequenza di taglio superiore scende da 220 MHz a 5.5 MHz.

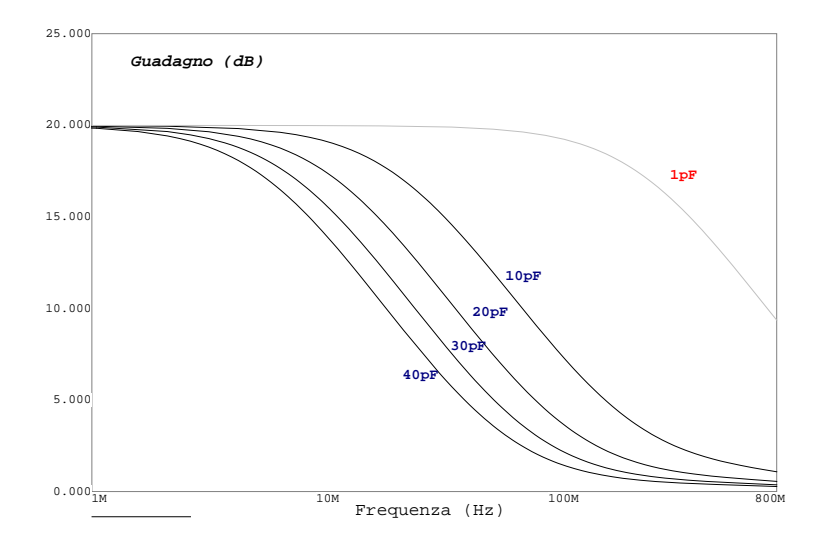


Figura 10.20:

Verifichiamo ora, con un esempio numerico, la validità delle approssimazioni fatte.

La prima delle approssimazioni è consistita nel trascurare (vedi figura 10.17) la caduta di potenziale ai capi di  $R_d^*$  rispetto al potenziale del generatore dipendente  $-g_m R_d^* v_g$ . La seconda nel trascurare la caduta di potenziale ai capi di  $R_d^*$  rispetto a quella ai capi della capacità  $C_{gd}$ .

Ammettiamo che sia:

$$g_m = 2 \, mS$$
 ,  $R_d^* = 2 \, k\Omega$  ,  $v_g = 0.1 \, V$  ,  $C = C_{gd} = 2 \, pF$  ,  $f = 1 \, MHz$ 

Avremo allora:

$$g_m R_d^* v_q = 0.4 V$$

La resistenza associata alla capacità C sarà:

$$Z_c = \frac{1}{\omega C} = \frac{1}{2\pi f C} \approx 80 \, k\Omega$$

Poichè questa è molto maggiore di  $R_d^*$ , vediamo che la caduta di potenziale ai capi di  $R_d^*$  è trascurabile rispetto a quella ai capi di C, il che giustifica la seconda delle approssimazioni fatte (a maggior ragione se la frequenza fosse più bassa di quella scelta). L'approssimazione verrebbe meno solo a frequenze tali che:

$$Z_c \approx R_d^*$$

cioè:

$$f \approx \frac{1}{2\pi R_d^* C} \approx 400 \, MHz$$

maggiore della frequenza di taglio dell'amplificatore.

Per verificare la prima delle approssimazioni calcoliamo la corrente nella serie  $C-R_d^*$ :

$$i = \frac{v_g(g_m R_d^* + 1)}{\sqrt{(R_d^*)^2 + 1/(\omega^2 C^2)}} \approx \omega C v_g (g_m R_d^* + 1)$$

La caduta di potenziale ai capi di  $R_d^*$  sarà allora:

$$v = R_d^* i = v_g (g_m R_d^* + 1) \frac{R_d^*}{1/(\omega C)} \approx 0.025 \cdot (g_m R_d^* + 1) \ll (g_m R_d^* + 1) v_g$$

cioè molto minore della differenza di potenziale ai capi di C.

### 10.8.2 Risposta alle basse frequenze

Ci siamo fino a questo momento occupati della risposta dell'amplificatore alle alte frequenze. Vediamo ora di esaminarne il comportamento all'altra estremità dello spettro, a frequenze molto basse. In tale regione si farà ovviamente sentire l'effetto delle capacità in serie al segnale, cioè essenzialmente della capacità di accoppiamento  $C_a$ . Poichè in tale zona di frequenza, l'impedenza capacitativa  $|1/(j\omega C_a)|$  è grande, potremo trascurare, rispetto a questa, l'impedenza d'uscita  $r_s$  del generatore.

Il circuito equivalente che adopereremo per calcolare la risposta in questa zona di frequenze è mostrato in figura 10.21.

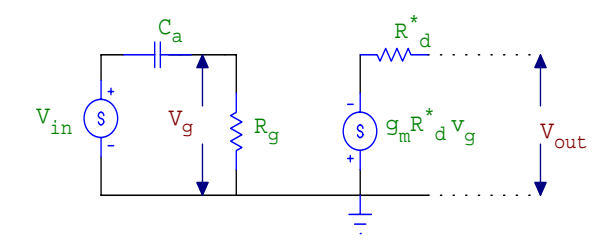


Figura 10.21:

In tale schema,  $v_g$  è dato da:

$$v_g = \frac{R_g}{R_g + \frac{1}{j\omega C_a}} v_{in} = \frac{1}{1 + \frac{1}{j\omega R_g C_a}} v_{in}$$

da cui segue:

$$v_{out} = -g_m R_d^* v_g = -\frac{A_o}{1 + \frac{1}{j\omega C_a R_g}}$$
(10.28)

dove abbiamo posto:

$$A_o = g_m R_d^*$$

Il modulo della funzione di trasferimento  $|A_v|$  è quindi:

$$|A_v(\omega)| = \frac{A_o}{\sqrt{1 + (\omega_L/\omega)^2}}$$
(10.29)

dove abbiamo posto:

$$\omega_L = \frac{1}{C_a R_g}$$

Esso tende a 0 per  $\omega \to 0$  e si riduce di 3 dB per  $\omega = \omega_L$ , cioè per un valore della frequenza f:

$$f_L = \frac{\omega_L}{2\pi} = \frac{1}{2\pi C_a R_q} \tag{10.30}$$

Se  $R_g = 1 M\Omega$  e  $C_a = 4 nF$ ; si trova:

$$f_L = \frac{1}{2\pi \, 10^6 \, 4 \, 10^{-9}} = 40 \; Hz$$

La frequenza  $f_L$  definisce il limite inferiore della banda passante dell'amplificatore. Notiamo ancora che per  $\omega = \omega_L$ , la 10.28 ci dà per la quantità complessa  $A_v$ :

$$A_v = -\frac{A_o(1-j)}{2} \tag{10.31}$$

da cui vediamo che alla frequenza  $f_L$  c'è uno sfasamento di  $\pi/2$  tra  $v_{in}$  e  $v_{out}$ .

#### 10.8.3 Risposta sull'intero spettro di frequenze

L'espressione della risposta globale in frequenza può essere ottenuta combinando la 10.26 con la 10.29. Si trova:

$$|A_v| = \frac{A_o}{\sqrt{1 + (\omega/\omega_U)^2} \sqrt{1 + (\omega_L/\omega)^2}}$$
 (10.32)

L'andamento del guadagno in funzione della frequenza f è qualitativamente quello mostrato nella figura 10.22. Il grafico superiore si riferisce al modulo del guadagno, espresso in decibel, quello inferiore allo sfasamento (in gradi). Notiamo che agli estremi della banda passante, ad esempio per  $f = f_L$  o  $f = f_U$ , il segnale in uscita è non soltanto attenuato, ma anche fortemente fuori fase rispetto al valore che esso ha a centro banda.

Se quindi  $v_{in}$  ha componenti di Fourier su di una banda di frequenza che si estende dal centro bando fino ad uno degli estremi,  $v_{out}$  avrà componenti di Fourier che, per frequenza prossime all'estremità della banda, sono ridotte e sfasate. Ciò implica che  $v_{out}$  sarà distorto rispetto a  $v_{in}$ .

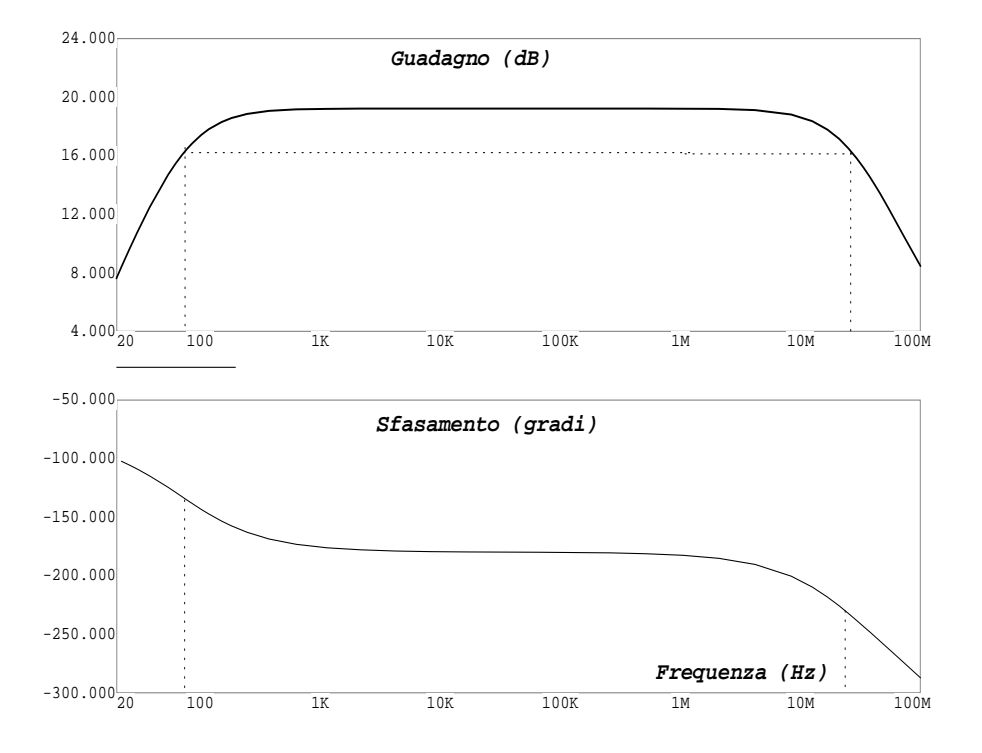


Figura 10.22:

### 10.9 Verifica delle approssimazioni fatte

Nella sezione precedente abbiamo ricavato la risposta in frequenza dell'amplificatore a FET facendo uso di alcune approssimazioni. Ci proponiamo ora di calcolare tale funzione di trasferimento senza fare alcuna approssimazione. Confonteremo poi il risultato con quello approssimato ottenuto prima. Il circuito equivalente è quello di figura 10.23 Questo può esser trasformato in quello di figura 10.24, dove è:

$$Z_g = \frac{R_g}{1 + sR_aC_{qs}}$$

Facendo uso delle leggi di Kirchoff, si ottiene, come mostrato in appendice, il seguente risultato:

$$A_{v}(s) \equiv \frac{v_{o}}{v_{s}} = \frac{R_{d}^{*}(sC_{gd} - g_{m})}{(1 + sC_{gd}R_{d}^{*})\left[1 + sr_{s}C_{s} + \frac{1}{sC_{a}Z_{g}} + \frac{r_{s}(C_{a} + C_{s})}{C_{a}Z_{g}}\right] + \frac{C_{gd}(sr_{s}(C_{a} + C_{s}) + 1)\left(1 + g_{m}R_{d}^{*}\right)}{C_{a}}}(10.33)$$

Questa può esser messa nella forma di un rapporto tra polinomi nella variabile s. Infatti la  $A_v(s)$  è ottenibile dalla 10.33, sostituendo a  $Z_g(s)$  la sua espressione:

$$Z_g = \frac{R_g}{1 + sR_gC_{qs}}$$

Si trova, dopo alcuni semplici passaggi algebrici, che la trasformata di Laplace della funzione di trasferimento è data da:

$$A_v(s) = \frac{A_0 s + A_1 s^2}{B_0 + B_1 s + B_2 s^2 + B_3 s^3}$$
(10.34)

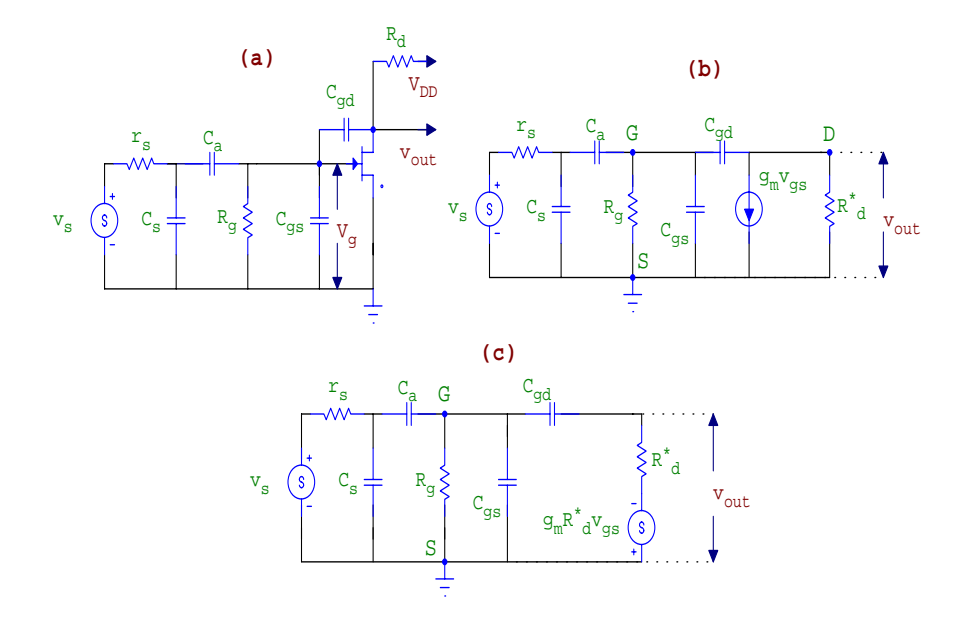


Figura 10.23:

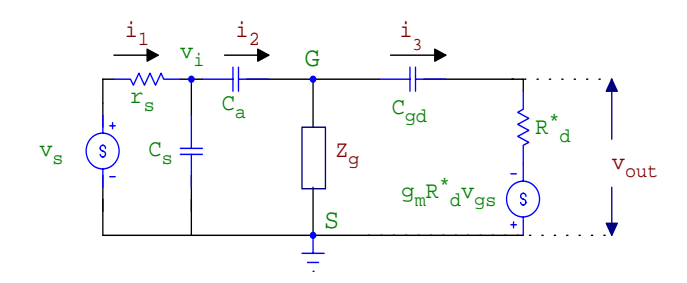


Figura 10.24:

dove:

$$A_{0} = -R_{d}^{*}g_{m}$$

$$A_{1} = R_{d}^{*}C_{gs}$$

$$B_{0} = \frac{1}{C_{a}R_{g}}$$

$$B_{1} = 1 + r_{s}\frac{C_{a} + C_{s}}{C_{a}R_{g}} + \frac{C_{gs}}{C_{a}} + \frac{R_{d}^{*}C_{gd}}{C_{a}R_{g}} + \frac{C_{gd}g_{m}R_{d}^{*}}{C_{a}}$$

$$B_{2} = r_{s}C_{s} + r_{s}\frac{(C_{a} + C_{s})C_{gs}}{C_{a}} + C_{gd}R_{d}^{*} + \frac{C_{gd}R_{d}^{*}C_{gs}}{C_{a}} + \frac{C_{gd}r_{s}(C_{a} + C_{s})}{C_{a}} + \frac{C_{gd}r_{s}(C_{a} + C_{s})}{C_{a}} + \frac{C_{gd}r_{s}(C_{a} + C_{s})}{C_{a}} + \frac{C_{gd}r_{s}(C_{a} + C_{s})}{C_{a}} + \frac{C_{gd}r_{s}(C_{a} + C_{s})C_{gd}R_{d}^{*}}{C_{a}} + \frac{C_{gd}R_{d}^{*}C_{gs}}{C_{a}} + \frac{C_{gd}R_{d}^{*}C_{gs}}{C_{a}} + \frac{C_{gd}R_{d}^{*}C_{gs}}{C_{a}} + \frac{C_{gd}R_{d}^{*}C_{gs}}{C_{a}} + \frac{C_{gd}R_{d}^{*}C_{gs}}{C_{a}} + \frac{C_{gd}R_{d}^{*}C_{gs}}{C_{a}} + \frac{C_{gd}R_{d}^{*}C_{gs}}{C_{gd}R_{d}^{*}} + C_{gd}R_{d}^{*}r_{s}C_{s}$$

Il risultato ottenuto con la seguente scelta dei parametri:

$$R_d = 5000\Omega$$
 ,  $C_{gd} = 2pF$  ,  $C_a = 1nF$  ,  $r_s = 100\Omega$  ,  $C_{gs} = 5pF$  , 
$$R_g = 100M\Omega$$
 ,  $g_m = 3 \ 10^{-3} \ S$  ,  $C_s = 2pF$ 

è confrontato con quello del calcolo approssimato nelle figure 10.25 e 10.26, rispettivamente per la zona delle alte e delle basse frequenze.

Come si vede, il risultato esatto è praticamente identico a quello approssimato a basse frequenze, mentre se ne discosta alquanto ad alte frequenze.

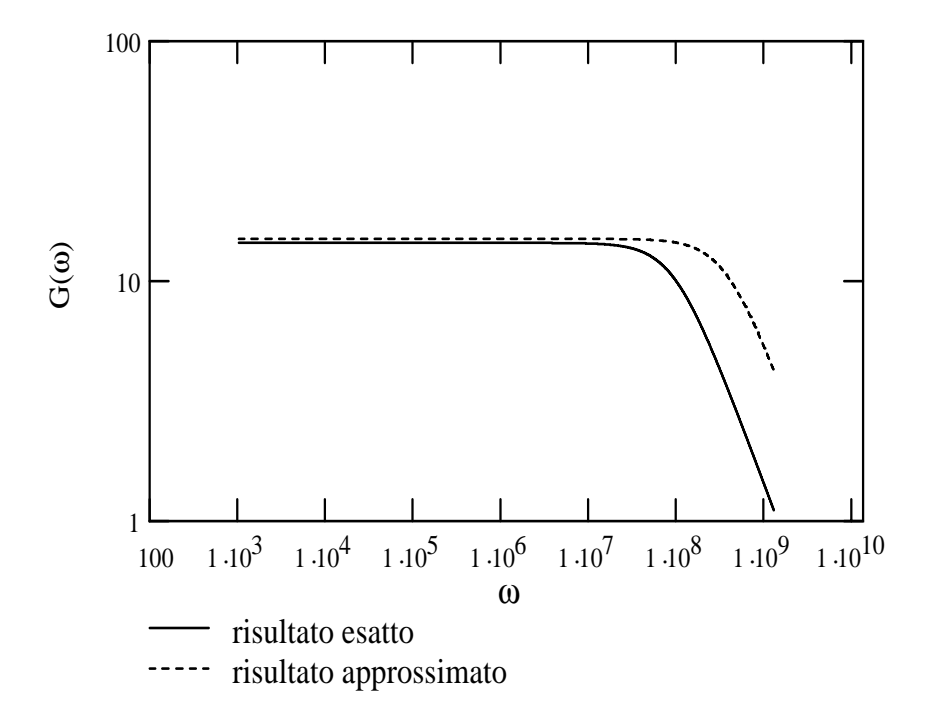


Figura 10.25:

# 10.10 Risposta dell'amplificatore ad un gradino di tensione

Come sappiamo, la risposta in frequenza di un generico circuito è legata alla risposta ad un gradino di tensione. Vediamo allora di calcolare tale risposta, che ci sarà utile quando ci occuperemo dell'elettronica per rivelatori di particelle nucleari.

La risposta al gradino è facilmente ottenibile una volta nota la trasformata di Laplace della funzione di trasferimento. Questa è stata ottenuta nella sezione precedente (equazione 10.34).

La risposta al gradino unitario è ora data dall'antitrasformata di  $A_v(s)/s$ , cioè di:

$$v_o(s) = \frac{A_0 + A_1 s}{B_0 + B_1 s + B_2 s^2 + B_3 s^3}$$
(10.35)

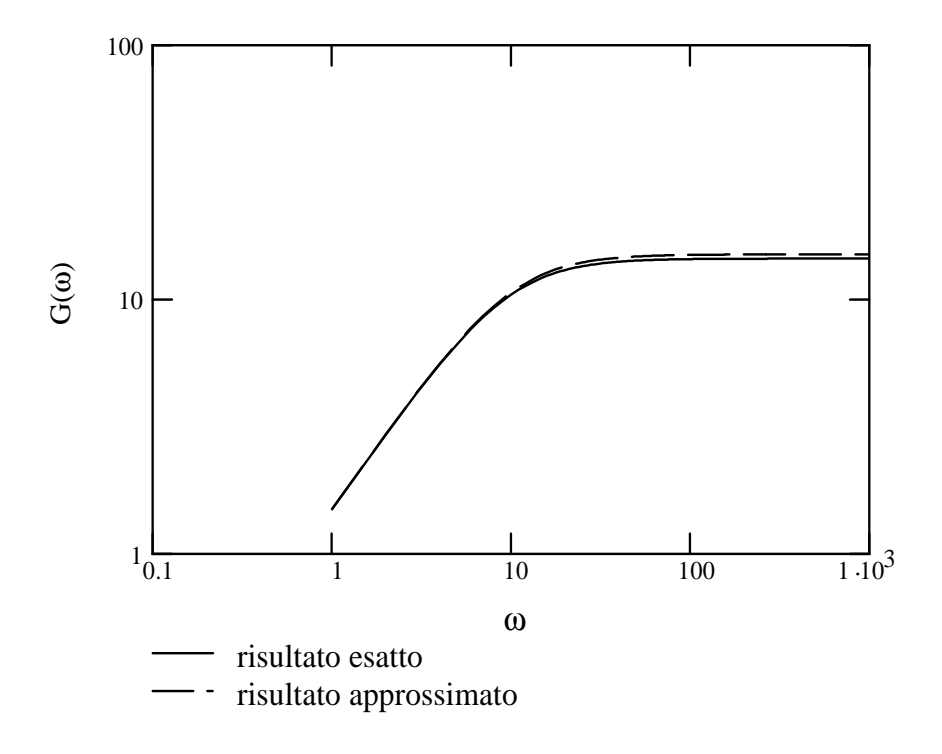


Figura 10.26:

Tale antitrasformata può esser calcolata numericamente facendo uso di programmi standard, quali Mathematica. Con la seguente scelta dei valori dei componenti:

$$R_d = 5000\Omega$$
 ,  $C_{gd} = 2pF$  ,  $C_a = 1nF$  ,  $r_s = 100\Omega$  ,  $C_{gs} = 5pF$  , 
$$R_g = 100M\Omega$$
 ,  $g_m = 3 \ 10^{-3} \ S$  ,  $C_s = 2pF$ 

si trova:

$$A_0 = -15.$$
,  $A_1 = 1.0 \, 10^{-8}$ ,  $B_0 = 10.$ ,  $B_1 = 1.037$ ,  $B_2 = 1.396 \, 10^{-8}$ ,  $B_3 = 7.01 \, 10^{-18}$ 

L'antitrasformata ottenuta è mostrata in figura 10.27, dove il segnale ottenuto è confrontato con il risultato approssimato ottenuto con il metodo discusso nelle sezioni precedenti. La curva relativa al calcolo "esatto" è quella che riproduce meno bene il gradino applicato in ingresso.

Si nota che il segnale in uscita non è un perfetto gradino, ma ha un tempo di salita finito.

L'andamento a tempi lunghi, mostrato in figura 10.28 mostra che la parte piatta del gradino acquista, dopo l'amplificatore, una pendenza finita. Questa è legata sostanzialmente alla costante di tempo  $R_gC_a$  e può esser ridotta scegliendo un piccolo valore di  $C_a$ .

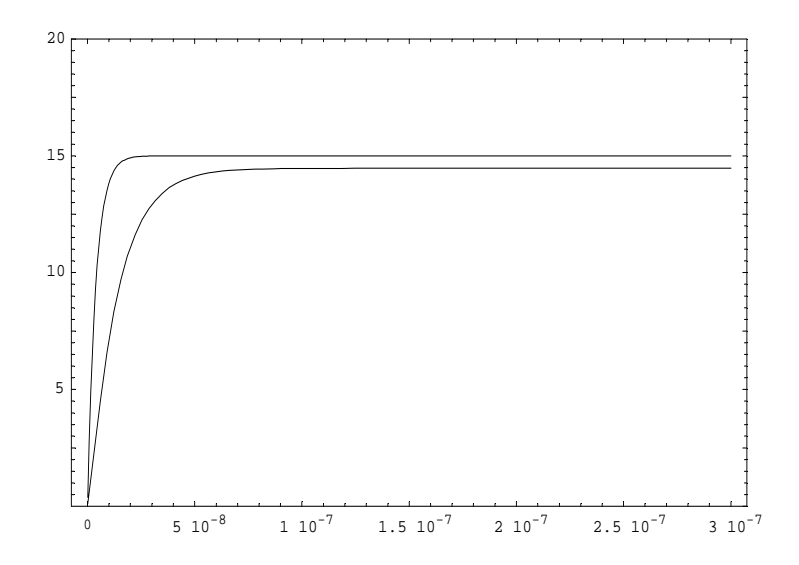


Figura 10.27: Risposta dell'amplificatore a FET ad un gradino. La curva superiore è quella relativa al calcolo approssimato, quella inferiore al calcolo senza approssimazioni

### 10.11 Funzione di trasferimento dell'amplificatore a FET

Calcoliamo ora, facendo uso del circuito equivalente mostrato in figura 10.24, la funzione di trasferimento dell'amplificatore a FET.

La corrente attraverso la capacità  $C_s$  è pari a  $i_1-i_2$ , per cui:

$$v_i = (i_1 - i_2) \frac{1}{sC_s} \tag{10.36}$$

dove:

$$v_i = v_s - i_1 r_s (10.37)$$

Dalla 10.36 otteniamo:

$$i_1 = i_2 + sC_sv_i$$

che, sostituita nella 10.37 fornisce:

$$v_i = v_s - r_s i_2 - s r_s C_s v_i$$

cioè:

$$i_2 = -\frac{v_i}{r_s} \left( s r_s C_s + 1 \right) \tag{10.38}$$

La corrente in  $Z_g$  è uguale a  $i_2 - i_3$ , per cui:

$$v_{qs} = (i_2 - i_3) Z_q (10.39)$$

dove è:

$$v_{gs} = v_i - \frac{i_2}{sC_a} \tag{10.40}$$

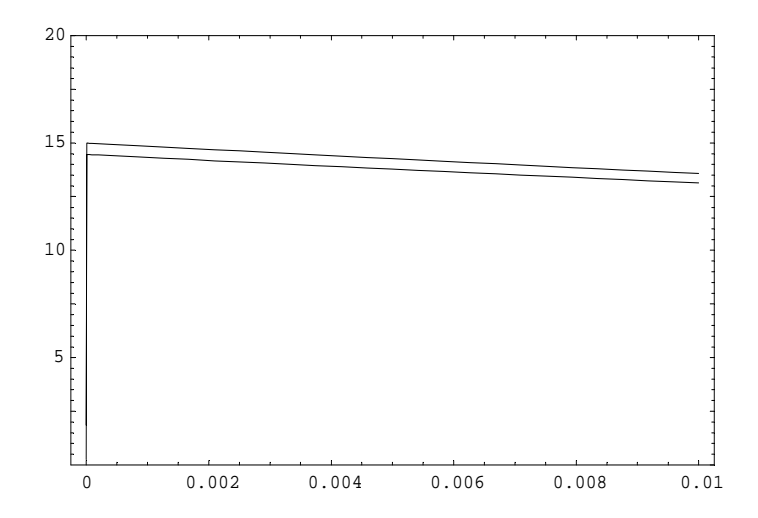


Figura 10.28: Risposta dell'amplificatore a FET ad un gradino. La curva superiore è quella relativa al calcolo approssimato, quella inferiore al calcolo senza approssimazioni

Dalla 10.39 otteniamo:

$$i_2 = i_3 + \frac{v_{gs}}{Z_g}$$

che, sostituita nella 10.40 fornisce:

$$v_{gs} = v_i - \frac{i_3}{sC_a} - \frac{v_{gs}}{sC_aZ_a}$$

cioè:

$$v_{gs} \left( 1 + \frac{1}{sC_a Z_a} \right) = v_i - \frac{i_3}{sC_a} \tag{10.41}$$

Dal nodo D abbiamo:

$$v_o = v_{gs} - \frac{i_3}{sC_{ad}} \tag{10.42}$$

nonchè:

$$v_o - R_d^* i_3 - g_m R_d^* v_{qs} (10.43)$$

Calcoliamo ora  $i_3$  facendo uso della 10.41 e sostituiamo nella 10.42:

$$\frac{i_3}{sC_a} = v_i - v_{gs} \left( 1 + \frac{1}{sC_a Z_g} \right)$$

cioè:

$$i_3 = sC_a v_i - v_{gs} \left( sC_a + \frac{1}{Z_g} \right) \tag{10.44}$$

sostituendo poi nella 10.42:

$$v_o = v_{gs} \left( 1 + \frac{C_a}{C_{gd}} + \frac{1}{sC_{gd}Z_g} \right) \tag{10.45}$$

Sostituendo invece  $i_3$  nella 10.43:

$$v_o = -g_m R_d^* v_{qs} + R_d^* s C_a v_i - R_d^* v_{qs} (sC_a + 1/Z_q)$$

da cui:

$$v_o = -v_{gs} \left( R_d^* g_m + R_d^* s C_a + \frac{R_d^*}{Z_g} \right) + R_d^* s C_a v_i$$

e quindi:

$$v_i = \frac{v_o + v_{gs} R_d^* (g_m + sC_a + 1/Z_g)}{R_d^* sC_a}$$
(10.46)

Sostituendo questa nella 10.45, si ottiene poi:

$$v_{o} = v_{gs} \left( \frac{sC_{gd}Z_{g} + sC_{a}Z_{g} + 1}{sC_{gd}Z_{g}} \right) - \frac{C_{a} \left[ v_{o} + v_{gs} \left( g_{m} + sC_{a} + 1/Z_{g} \right) \right]}{C_{gd}R_{d}^{*}sC_{a}} =$$

$$= v_{gs} \left[ \frac{sC_{gd}Z_{g} + sC_{a}Z_{g} + 1}{sC_{gd}Z_{g}} - \frac{g_{m} + sC_{a} + 1/Z_{g}}{sC_{gd}} \right] - \frac{v_{o}}{sR_{d}^{*}C_{gd}}$$

da cui con facili passaggi si ottiene:

$$v_o = v_{gs} \frac{R_d^*(sC_{gd} - g_m)}{1 + sR_d^*C_{gd}}$$
(10.47)

Dobbiamo ancora esprimere  $v_{gs}$  in funzione di  $v_s$ . Esprimiamo  $v_{gs}$  in funzione di  $v_i$  e poi  $v_i$  in funzione di  $v_s$ .

Riscriviamo a tale scopo le 10.38 e 10.40:

$$v_{gs} = v_i - \frac{i_2}{sC_2}$$

con:

$$i_2 = \frac{v_s}{r_s} - \frac{v_i}{r_s} (1 + sr_s C_s)$$

$$v_{gs} = v_i - \frac{v_s}{sC_a r_s} + \frac{v_i}{sC_a r_s} (1 + sr_s C_s)$$

e poi:

$$v_{gs} = v_i \frac{sr_s C_a + sr_s C_s + 1}{sr_s C_a} - \frac{v_s}{sr_s C_a}$$
(10.48)

Uguagliando la 10.42 e 10.43 si ottiene:

$$i_3 = \frac{sC_{gd}v_{gs}\left(1 + g_m R_d^*\right)}{1 + sC_{gd}R_d^*} \tag{10.49}$$

Uguagliando la  $i_3$  data dalla 10.49 con la 10.44 si ottiene poi:

$$\frac{sC_{gd}v_{gs}\left(1+g_{m}R_{d}^{*}\right)}{1+sC_{gd}R_{d}^{*}} = sC_{a}v_{i}-v_{gs}\left(sC_{a}+\frac{1}{Z_{q}}\right)$$

da cui:

$$v_{gs} \left( sC_a + \frac{1}{Z_q} + \frac{sC_{gd} \left( 1 + g_m R_d^* \right)}{1 + sC_{gd} R_d^*} \right) = sC_a v_i$$

e poi:

$$v_i = \frac{v_{gs}}{sC_a Z_g (1 + sC_{gd}R_d^*)} \left[ sC_a Z_g (1 + sC_{gd}R_d^*) + (1 + sC_{gd}R_d^*) + sC_{gd}Z_g (1 + g_m R_d^*) \right] (10.50)$$

Dalla 10.48 otteniamo:

$$v_i = \left(v_{gs} + \frac{v_s}{sr_s C_a}\right) \frac{sr_s C_a}{1 + sr_s (C_a + C_s)} \tag{10.51}$$

Uguagliando la 10.50 alla 10.51 si ha poi:

$$\left(v_{gs} + \frac{v_s}{sr_sC_a}\right) \frac{sr_sC_a}{1 + sr_s(C_a + C_s)} = \frac{v_{gs}}{sC_aZ_a(1 + sC_{ad}R_d^*)} \left\{ sZ_gC_a\left(1 + sC_{gd}R_d^*\right) + (1 + sC_{gd}R_d^*) + sZ_gC_{gd}\left(1 + g_mR_d^*\right) \right\}$$

da cui:

$$v_{gs} \left\{ \frac{sr_s C_a}{1 + sr_s (C_a + C_s)} - 1 - \frac{1}{sC_a Z_g} - \frac{C_{gd} (1 + g_m R_d^*)}{C_a (1 + sC_{gd} R_d^*)} \right\} =$$

$$= -\frac{v_s}{1 + sr_s (C_a + C_s)}$$

Da questa si ottiene:

$$v_{gs} = -v_s \frac{sC_a Z_g \left(1 + sC_{gd} R_d^*\right)}{\left(1 + sC_{gd} R_d^*\right) \left[s^2 C_a^2 Z_g r_s - sC_a Z_g \left(sr_s (C_a + C_s) + 1\right) - \left(sr_s (C_a + C_s) + 1\right)\right]} - sC_{gd} Z_g \left(sr_s (C_a + C_s) + 1\right) \left(1 + g_m R_d^*\right)$$

Sostituendo questa nella 10.47 si ottiene infine:

$$v_o = v_s \frac{R_d^* \left( s C_{gd} - g_m \right)}{\left[ 1 + s C_{gd} R_d^* \right] \left[ \frac{1}{s C_a Z_g} + \left( 1 + s r_s C_s \right) + \frac{r_s (C_a + C_s)}{C_a Z_g} \right] + \frac{C_{gd} \left[ s r_s (C_a + C_s) + 1 \right] \left[ 1 + g_m R_d^* \right]}{C_a}}$$

Che è la relazione cercata.

Questa può esser messa nella forma del rapporto di due polinomi nella variabile complessa s. Basterà sostituire a  $Z_g$  la sua espressione:

$$Z_g = \frac{R_g}{1 + sR_gC_{gs}}$$

Si ottiene in tal modo, dopo alcuni passaggi, che la funzione di trasferimento è data da:

$$G(s) = \frac{s^2 R_d^* C_{gd} - s R_d^* g_m}{B_0 + B_1 s + B_2 s^2 + B_3 s^3}$$

dove:

$$B_{0} = \frac{1}{C_{a}R_{g}}$$

$$B_{1} = \left[1 + \frac{r_{s}(C_{a} + C_{s})}{C_{a}R_{g}} + fracC_{gs}C_{a} + \frac{C_{gd}R_{d}^{*}}{C_{a}R_{g}} + \frac{C_{gd}}{C_{a}} + \frac{C_{gd}}{C_{a}}g_{m}R_{d}^{*}\right]$$

$$B_{2} = r_{s}C_{s} + r_{s}C_{gs}\frac{C_{a} + C_{s}}{C_{a}} + C_{gd}R_{d}^{*} + \frac{C_{gd}R_{d}^{*}C_{gs}}{C_{a}} + \frac{C_{gd}r_{s}(C_{a} + C_{s})}{C_{a}} + \frac{C_{gd}r_{s}(C_{a} + C_{s})g_{m}R_{d}^{*}}{C_{a}} + r_{s}C_{gd}R_{d}^{*}\frac{(C_{a} + C_{s})}{C_{a}R_{g}}$$

$$B_{3} = \left[ r_{s} C_{gs} C_{gd} R_{d}^{*} \frac{C_{a} + C_{s}}{C_{a}} + C_{gd} R_{d}^{*} r_{s} C_{s} \right]$$